

第一次全国磁学及磁性材料 专业学术会议论文选集



中国电子学会微波技术专业委员会編

(内部資料 注意保存)



国防工业出版社



第一次全国磁学及磁性材料 专业学术會議論文选集

中国电子学会微波技术专业委员会編



国防工业出版社

1964

內容簡介

本选集共收入論文 22 篇，內容分五部分，第一部分为恒磁材料的研究，第二部分为軟磁材料的研究，第三部分为矩磁材料及器件的研究，第四部分为旋磁材料及器件的研究，第五部分为微波鐵氧体及磁膜測試方法。

本选集可供从事磁性材料及器件之研究、生产的工程技术人员及高等院校师生参考。

第一次全国磁学及磁性材料
专业学术會議論文选集
中国电子学会微波技术专业委员会編

*

國防工業出版社出版

北京市书刊出版业营业許可證出字第 074 号

国防工业出版社印刷厂印裝 內部發行

*

787×1092 1/16 印張 10⁷/8 250 千字

1964年6月第一版 1964年6月第一次印刷 精、平裝 印數：0,001—1,500 冊

統一書號：N15034·748 定價：（科八-2） 平裝 2.20 元
精裝 2.80 元

前　　言

中国电子学会与中国物理学会于1963年4月8日至14日在江苏无锡联合召开了第一次全国磁学及磁性材料专业学术会议。参加这次会议的有来自科学院、研究所、工厂及高等院校等65个单位的114位代表，提出论文85篇，其中永磁方面9篇、软磁方面12篇、金属磁性材料测试方面6篇、矩磁铁氧体方面10篇、磁性薄膜方面6篇、铁氧体材料研究方面11篇、微波器件方面18篇、微波测量方面9篇、其它4篇。从这些论文的数量来看，较过去有了显著的提高；有些文章，理论研究与实用结合得较好，如“互易铁氧体相移器的分析与计算”、“对称结带线环流器的电磁场问题”、“锰锌铁氧体初导磁率随温度的变化”等文，都写得比较深入，且有一定参考价值。论文中关于微波铁氧体隔离器、Y型环流器、矩磁铁氧体、薄膜方面的研究尤为集中。

为了满足无线电材料和元件发展的需要，我们从这些论文中选出了22篇编成此文集出版。参加本文集的选编、整理工作的有傅柏生、张熙、顾敏、周文运、杨森官、王秀珍、徐世凯、王振荃等同志。

编　者

目 录

前言 3

第一部分 恒磁材料的研究

- 鉻鎳鈷 5 合金的磁性可逆現象 王潤等 7
含鈦高鈷鉻鎳鈷永磁合金的若干研究 曾訓一等 16

第二部分 軟磁材料的研究

- 錳鋅鐵氧體初導磁率隨溫度的變化 蔣伏君 23

第三部分 矩磁材料及器件的研究

- 坡莫合金薄膜的各向異性 潘孝頤等 27
坡莫合金薄膜的脈沖反磁化 王煥元等 35
脈沖磁化電流的前沿對磁芯反磁化時間的影響 林彰達等 41
寬工作溫度範圍的矩磁鐵氧體 傅柏生等 50
電沉積 Fe—Ni 薄膜磁杆記憶元件 許自強 54
電感變參數元件非線性鐵氧體製造中的一些問題 卢嘉珍 60

第四部分 旋磁材料及器件的研究

- 鐵磁共振中的靜磁模式 金通政等 71
鈇-鑑石榴石型鐵氧體系統鐵磁共振的研究 李國棟等 76
熱處理對鑑鐵氧體和錳鐵氧體單晶鐵磁共振的影響 李國棟等 83
互易鐵氧體相移器的分析與計算 徐燕生等 91
對稱結構帶線環流器的電磁場問題 蔣仁培等 100

带线隔离器.....	張錫夫等	112
场移式隔离器的实验研究.....	陈学岳	119
8厘米微波接力通信设备中微波谐振式铁氧体单向器研究.....	謝怀彥等	131
10厘米高功率铁氧体隔离器.....	張熙等	144

第五部分 微波铁氧体及磁膜测试方法

微波铁氧体在分米波段的测试.....	钟代传	151
铁氧体自旋波线宽 ΔH_K 的测试	余显燁等	157
波导段调频测铁磁共振窄线宽方法的改进.....	何章祥等	166
用示波器显示铁磁薄膜磁滞回线的装置.....	張裕普	172

第一部分 恒磁材料的研究

鋁鎳鈷 5 合金的磁性可逆現象

王潤 李東升 劉玲 張漢洁 周壽增

一、引言

鋁鎳鈷 5 合金是优质永磁材料，广泛应用于现代科学技术中。一般对这种合金的高矫顽力和高磁能是用单畴理论解释的。对于形成高矫顽力的脱溶过程也有过相当多的研究。最近，Magat[1]和Багаряцкий[2]用X线分别对鋁鎳鈷 5 和 Fe—Ni—Al 合金进行了研究，根据超结构反射附近的漫散衍射效应，指出在淬火过程中形成球形 G—P 区，因此淬火后所获得的矫顽力比经过控速冷却后所获得的矫顽力低。但是这些工作都沒分析合金在高矫顽力状态下的结构，虽然用电子显微镜作过多次观察[3, 4]，但都沒能确定所观察的高矫顽力状态下的图相是新相粒子的析出，还是固溶体内部的浓度的周期起伏，因此对鋁鎳鈷合金的高矫顽力结构实质和时效机理一直不够清楚。

曾经认为鋁鎳鈷 5 在控速冷却过程中的转变是个形核长大过程[5]。近来，相继发现了鋁鎳鈷 5 合金的磁性可逆现象[6, 7, 9]，即合金经正常热处理获得高矫顽力后，在650°C以上短时加热，性能陡降，再在600°C进行二次时效，则磁性又可完全恢复，这是用形核长大理论所难于解释的[12]。通过对这种可逆现象的研究，不同作者对鋁鎳鈷 5 的时效机构，高矫顽力状态和磁性可逆现象提出了几种不同的观点，主要有：

1. Koch 等[6]认为磁性可逆现象是由于一个面心结构的 γ_2 相 ($a_0 = 3.56 \text{ \AA}$) 的析出与回溶引起，而且 γ_2 相对矫顽力也起着重要作用。
2. 阿部等[9]认为磁性可逆现象是由于相界面的可逆移动和弱磁性相的居里点的可逆变化，以及不可逆的四方度或共格关系的破坏所引起。关于热磁性相的居里点的可逆变化，Clegg 等[10]也曾指出。

3. 加藤等[11]认为鋁鎳鈷 5 合金在600°C以下时效并未析出，仍然是单相的，具有浓度的周期起伏，并且可能存在短程序，650°C以上时效，则开始析出。

这些观点的分歧还是相当大的，本文试图通过观察磁性的变化，对鋁鎳鈷 5 合金的时效过程和磁性可逆现象作一初步探索。

二、实验结果

选取标准成分鋁鎳鈷 5 合金 (24% Co, 14% Ni, 8% Al, 3% Cu, 51% Fe)，经真空熔炼和精密铸造后，磨制成 $8 \times 8 \times 40$ 的长方样品。固溶处理和控速冷却是在自制的管式炉中进行的，可保证冷速均匀一致。磁冷是把管式炉置入磁场强度在 2000 奥斯特以上的大螺线管中进行。用冲击法测量磁性。

1. 磁性可逆现象出现的热处理条件

一般认为鋁鎂鈷 5 合金的固溶溫度在 1250°C 以上或 $850^{\circ}\sim950^{\circ}\text{C}$ 之間。为了确定这两种固溶溫度以及不同冷却条件对可逆現象的影响，选择 1300°C 和 930°C 两种固溶溫度，在磁场中和不在磁场中冷却两种条件，固溶保溫 15 分钟，冷速为 $1^{\circ}\text{C}/\text{秒}$ 。試样經上述四种不同处理后，于 $600^{\circ}\text{C}\sim750^{\circ}\text{C}\sim600^{\circ}\text{C}$ 之間进行交替处理。发现在 1300°C 和 930°C 固溶后所

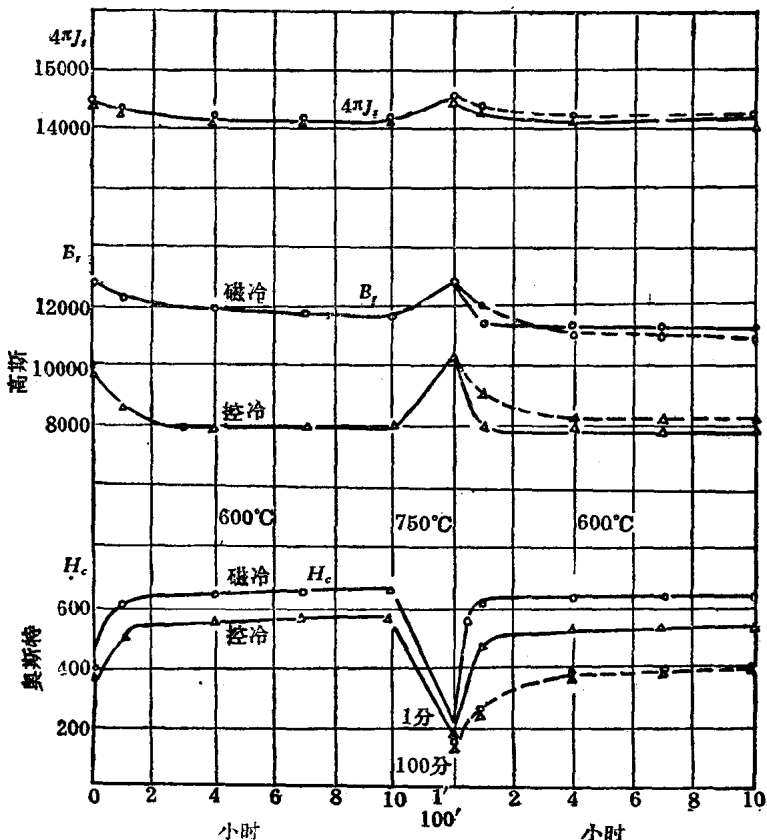


图 1 鋁鎂鈷 5 合金在 930°C 固溶 15 分钟，以 $1^{\circ}\text{C}/\text{秒}$ 冷速在磁场中和不在磁场中冷却，在 $600^{\circ}\text{C}\sim750^{\circ}\text{C}\sim600^{\circ}\text{C}$ 之間交替处理过程中磁性的变化。

得結果相同。經 930°C 固溶，在磁场和不在磁场中控冷后，在交替处理过程中磁性的变化如图 1 所示。可以看出，磁冷和无磁场控冷后在 600°C 时效，磁性变化趋势相同，而磁冷的絕對值較高。随时间延长， $4\pi J_s$ 和 B_r 值下降， H_c 值升高。时效 10 小时后，在 750°C 的鉛浴中加热 1 分和 100 分钟，性能变化結果相同： $4\pi J_s$ ， B_r 值上升， H_c 值下降到低于磁冷后的数值。再在 600°C 进行二次时效，则在 750°C 短时加热 1 分钟的試样，磁性完全恢复(图 1 实線)，而加热 100 分钟的試样(图 1 虚線)， $4\pi J_s$ 和 B_r 值可以恢复， H_c 值则不能恢复，并且这时磁冷和无磁场控冷后的 H_c 值已經沒有区别。与阿部的結果不同，这里在 750°C 加热， B_r 值上升，而非下降。另外，試样在 1300°C 和 930°C 固溶后油淬，进行同样交替处理，未发现可逆現象。可以得出，可逆現象发生的必要热处理条件是控速冷却，不同的固溶溫度，控冷时加磁场与否，对可逆現象都不起本质作用。

2. 时效过程

为了进一步了解可逆現象，对于不同时效溫度下磁性的变化作系統觀察。已經确定，可

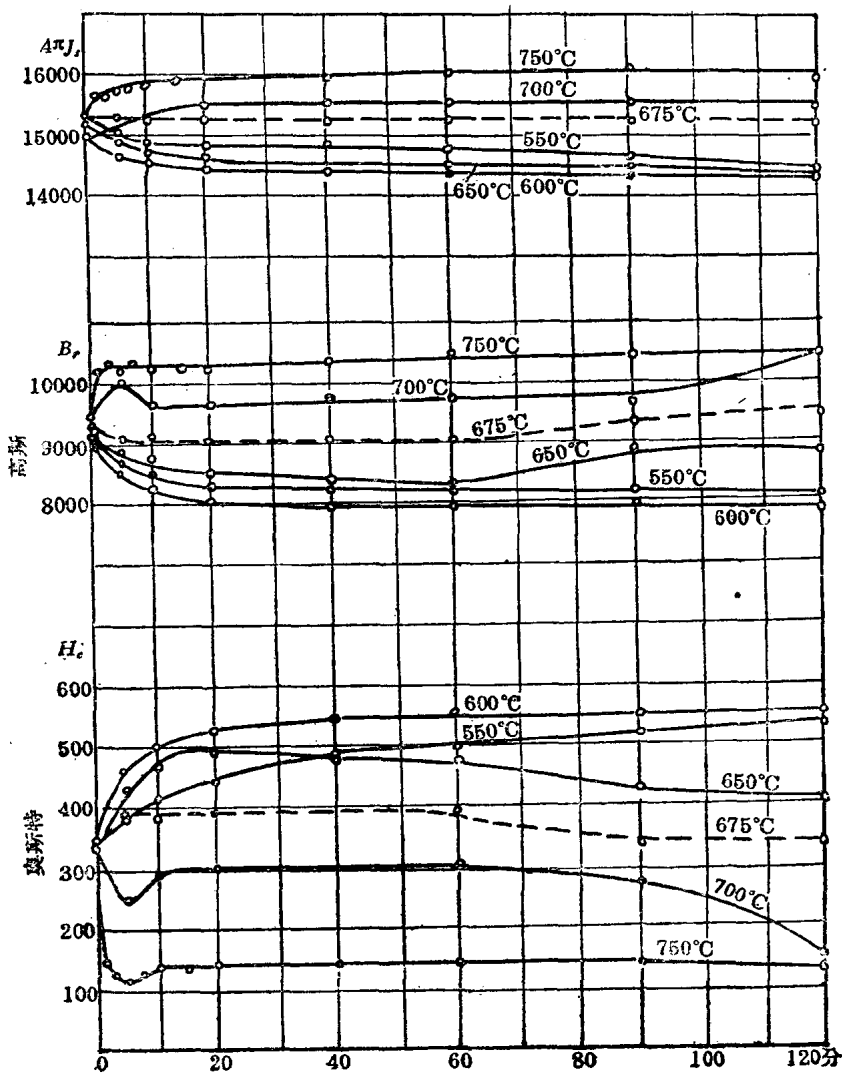


图 2 鋁鎳鈷 5 合金，930℃固溶15分钟，以1°C/秒冷速无磁场冷却，在不同溫度时效，磁性随时效时间的变化。

逆現象出現的主要条件是控速冷却，因此選擇930°C固溶，以1°C/秒冷速无磁场冷却，自500°C至750°C間每隔25°C进行时效，每一溫度均以同一組試样用叠加法累計時間。不同溫度时效，磁性随时效时间的变化如图2所示。由图可見，低于675°C时效，随时效时间加长， $4\pi J_n$ 、 B_r 值下降， H_c 值上升，高于675°C时效变化趋势則相反， $4\pi J_n$ 、 B_r 值上升， H_c 值下降。675°C附近（图2虛線）似乎成一分界線，分成性能变化趋势完全相反的两个溫度區間。性能随时效溫度的变化見图3。可以看出，675°C以下时效所得性能，与控冷后的性能相比， B_r 值較低， H_c 值較高；675°C以上时效則相反， B_r 值較高， H_c 值較低，同时 H_c 的峰值和 B_r 的最低值随时效时间加长由高溫向低温方向移动。600°C附近作为 H_c 的峰值是較为稳定的，这一点恰与一般热处理工艺选600°C为最佳时效溫度相一致。

3. 交替处理

为了观察性能变化趋势不同的两个溫度区間与可逆現象的关系，进行下列实验：試样經930°C固溶无磁场控冷后，在550°C~700°C間每隔50°C进行时效4小时，而后分別升高

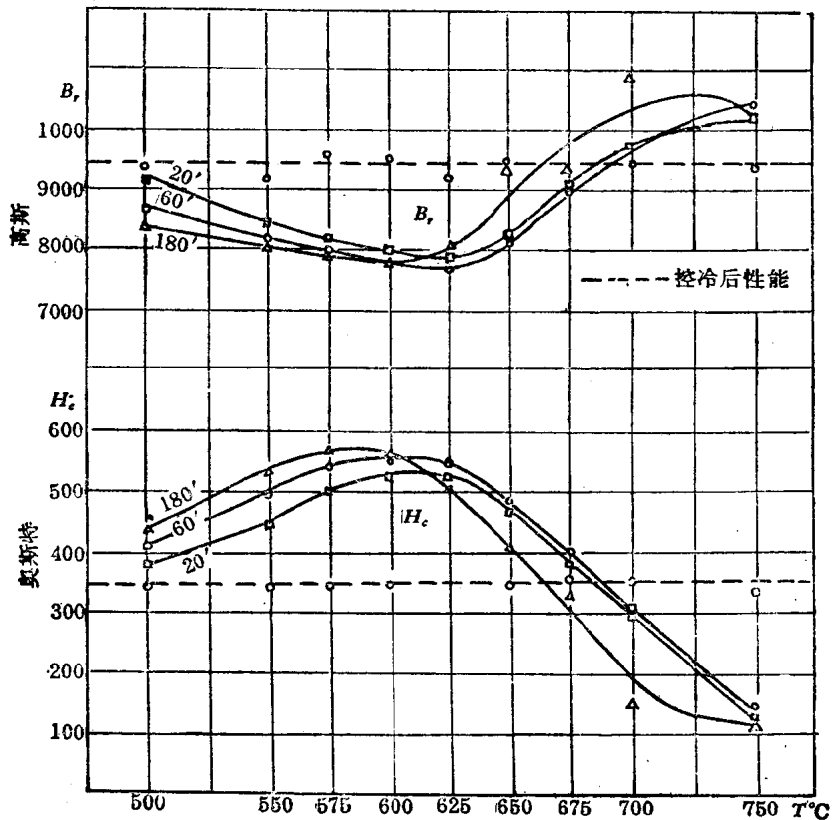


图3 铝镍钴5合金，930°C固溶15分钟，以1°C/秒冷速无磁场控冷，时效不同时间，磁性随时效温度的变化。

100°C短时加热1~10分钟，再以初时效温度进行二次时效，即进行下列交替处理，550°C~650°C~550°C，600°C~700°C~600°C，700°C~800°C~700°C。磁性在交替处理过程中变化分别表示在图4、5、6上。可以看出，图4、5中曲线变化趋势基本一致，只是绝对值有所差别，随初时效时间加长， $4\pi J_s$ 、 B_r 值下降， H_c 值上升；高于650°C短时加热， $4\pi J_s$ 、 B_r 值上升， H_c 值下降；二次时效，磁性又都完全恢复。图6表示在700°C~800°C~700°C的交替处理过程中磁性的变化，700°C进行初时效， $4\pi J_s$ 、 B_r 值上升， H_c 值下降；在800°C短时加热1分钟， $4\pi J_s$ 、 B_r 值仍然上升， H_c 值更强烈的下降；在700°C进行二次时效，磁性又得到恢复。仔细观察图4、5、6中曲线变化趋势，可以看出，与图2、3中曲线的变化是相符合的。另外把经过650°C、675°C、700°C时效4小时的样品，在600°C进行二次时效，磁性变化结果表示如图7，可以看出，经650°C和675°C时效过的样品，在600°C进行二次时效，与控冷后直接在600°C时效相比， B_r 、 H_c 值的变化基本重合，经700°C时效后在600°C进行二次时效则不同， H_c 值低很多， B_r 值稍高些。通过对这些交替处理的观察，可以得出，铝镍钴5合金磁性可逆现象出现的温度区间是很宽的，性能变化也较为复杂。

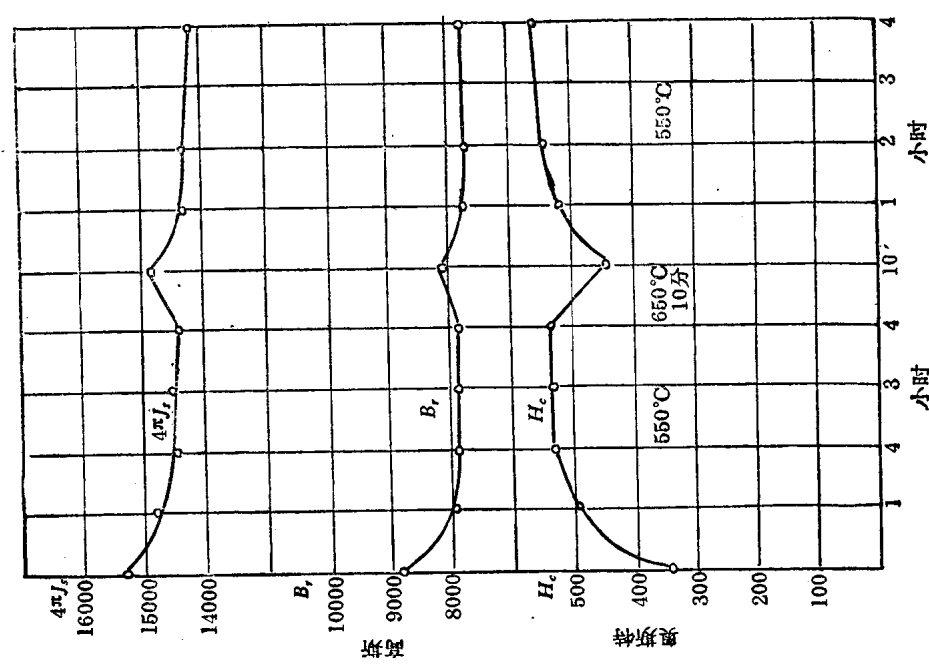


图 4 铝钛合金 5 自 930°C 固溶、无磁场控冷后，在 550°C 时效和 650°C 短时加热的交替处理下磁性的变化。

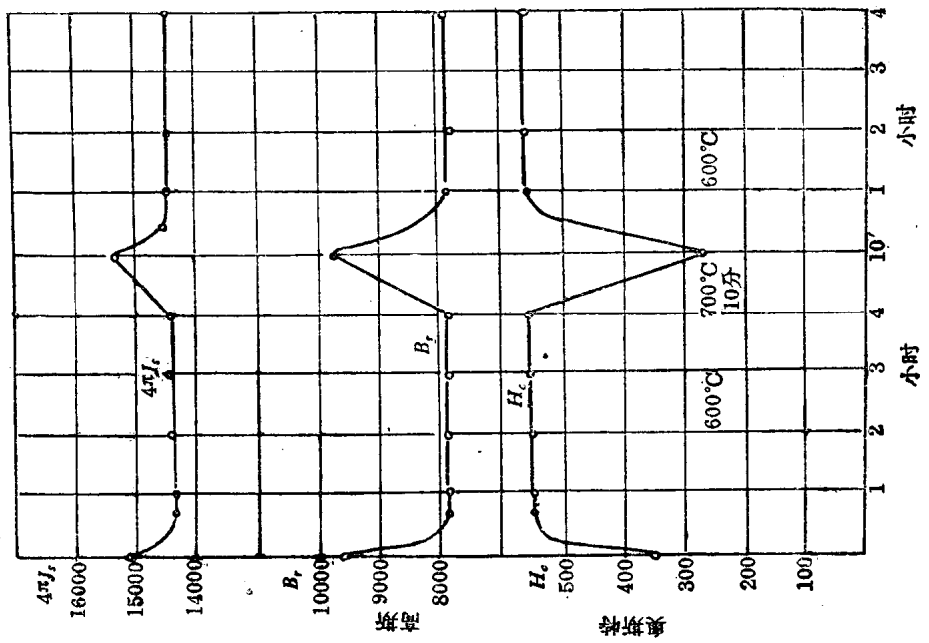


图 5 铝钛合金 5 自 930°C 固溶，无磁场控冷后，在 600°C 时效及 700°C 短时加热的交替处理下磁性的变化。

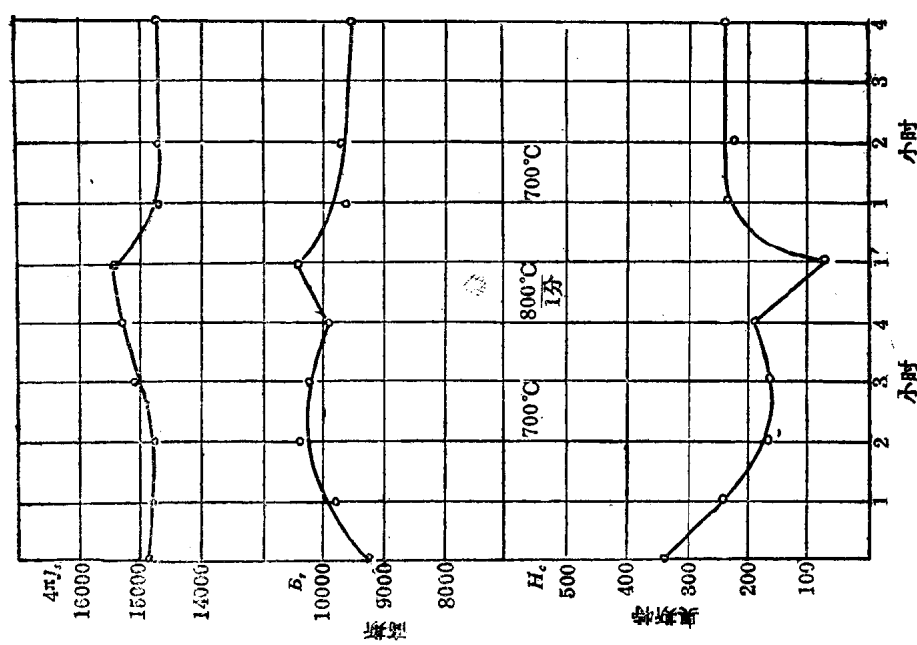


图 6 铝镍钴 5 合金，自 930°C 固溶，无磁场退火后，在 700°C 时效和 800°C 短时加热的交替处理下磁性的变化。

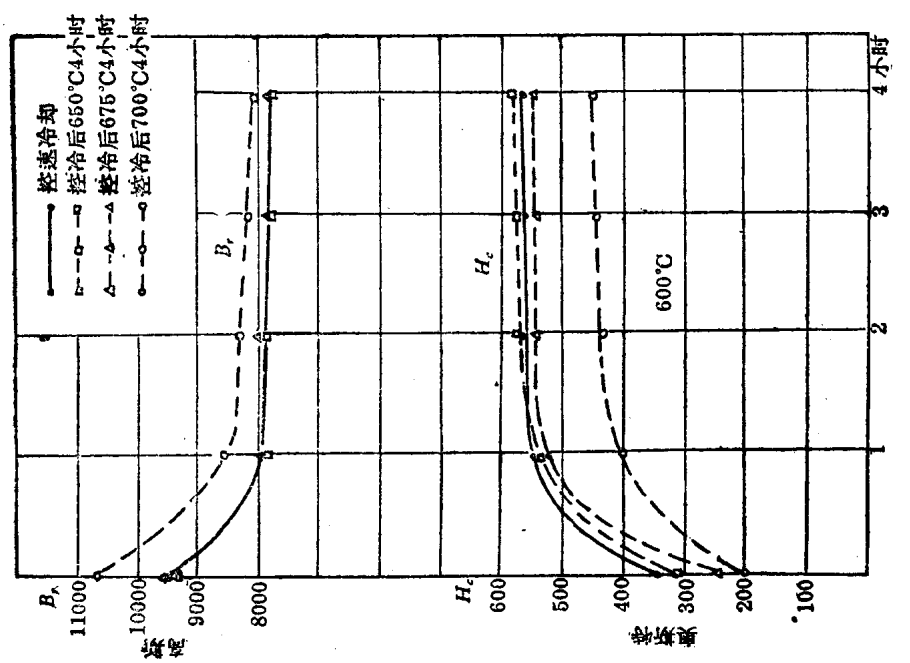


图 7 铝镍钴 5 合金，经无磁场退火以及不同温度时效后在 600°C 时效，磁性随时效时间的变化。

三、討 論

图 1 所示的可逆現象，不仅用一般形核长大理論难于解釋[12]，而且用 Koch[6]和阿部[9]的觀点解釋也存在一定困难。由图 1 看出，600°C时效只需 1 小时，矯頑力就已經达到了最大值，而 Koch[6]等发现 γ_2 相是在 600°C长期（70 天）时效以后，量又极微少，因此很难設想矯頑力的提高是由于 γ_2 相的作用，而且 Koch 等[6]的觀点也与一般公认的单疇理論相矛盾。阿部等[4]提出，有粒子大小的可逆变化；但他們測定的是两相平均粒子大小，在高溫下粒子变大，二次低溫时效，这种已經变大了的粒子又怎能再变小？四方度或共格关系又与可逆現象有何联系？这些問題作者在工作[9]中均未指出。

电子显微鏡[4]和 X 光[2]的工作都証明，冷却速度影响所觀察到的粒子的大小和 G—P 区的尺度。Багаряцкий[2]指出，在水淬的冷却过程中可以形成 G—P 区。Hardy [13]认为，这种类型合金，可以分解为成分不同的小区域，因此造成了高的矯頑力。根据前述的實驗結果，結合 Hardy[13]、加藤[11]、Clegg[10]等人的觀点，可以初步认为：这种合金的过飽和固溶体在控冷过程中分解出两种成分不同的小区域；一种区域富含 Ni、Al，是弱磁性的；一种区域富含 Fe、Co，是强铁磁性的。在不同溫度进行时效，这两种区域的成分也相对发生变化，因此引起磁性的改变。

如图 2 所示，在 675°C以下时效，Fe、Co 原子繼續富集（可以认为是 Fe、Co 原子的正扩散），鐵磁性加强，富 NiAl 区域减少 Fe、Co 含量后，居里点下降到室溫以下[10]，常溫下为非鐵磁性的，这样就减少了整个体积中铁磁性相的含量，使 $4\pi J_s$ 下降，也影响 B_r 降低，同时富 Fe、Co 区域单疇作用得以充分发挥[13]， H_c 值上升。图 3 中 H_c 在 600°C 附近有最大值，这正是因为两种区域成分差別最大所引起，600°C以下，扩散較为困难，性能較低。600°C以上，两种区域成分差別随溫度升高而减小，因此图 3 中表示 H_c 值的曲線，在 600°C以上随时效溫度升高近似成直線下降。在 675°C附近，两种区域所具有的成分差別与控冷以后的相近似，高于 675°C时效（見图 2），富 Fe、Co 区域排出 Fe、Co（可以认为是 Fe、Co 原子的負扩散），是两种区域成分差別减小的过程。当富 NiAl 区域增加 Fe、Co 含量后，磁性加强，居里点升到室溫以上，正如 Clegg[10]等所指出，这时出現两个居里点，在升溫电阻曲線上[8]也出現新的轉折点，整个体积中铁磁性相含量增加了，使 $4\pi J_s$ 、 B_r 值上升，同时也破坏了单疇粒子間的磁性絕緣，使 H_c 值下降。

每一溫度下，两种区域都对应着一定的濃度差和一定的組織状态，可以想象，尽管事先經過不同处理，只要在某一固定溫度下加热，必然会获得相同的性能。这种推測可用前面實驗結果，变换作图方法加以証实。以控冷后直接在高溫短时加热和經過控冷并在 600°C 时效 4 小时后再高溫短时加热所得性能为纵座标，加热溫度为橫座标，得图 8，可以看出，对应每一加热溫度，預先两种不同处理所得数值近似重合。这种推測，用图 7 的結果也可进一步說明，尽管事先經過 650°C、675°C时效，或者控冷后未經时效，只要在 600°C 加热，就能得到大致相同的数值。事先在 700°C时效，则因时间过长，发生了組織变化，二次 600°C时效，性能沒有完全恢复，若事先在 700°C加热時間不是过长，则二次 600°C时效性能是可以恢复的（見图 5）。

通过对图 2、3 的分析可以得出，鋁鎳鈷 5 合金在控速冷却后的时效过程是由 Fe、Co

原子的正负扩散所控制的。对图 1 所示的可逆現象可作如下解釋：600°C 初时效，Fe、Co 原子进行正扩散，使 $4\pi J_s$ 、 B_r 值下降， H_c 值上升；750°C 短时加热 1 分钟（图 1 实線），Fe、Co 原子进行负扩散，使 $4\pi J_s$ 、 B_r 值上升， H_c 值下降；在 600°C 二次时效，Fe、Co 原子再次进行正扩散，磁冷和控冷后的性能又得到恢复，这說明在交替处理过程中磁冷时磁场作用的效果一直保留，750°C 短时加热并未破坏磁冷时形成的磁織构，或者进一步說，750°C 短时加热并没有把控冷过程中产生的成分不同的小区域完全驅散。若在 750°C 加热 100 分钟（图 1 虛線）， $4\pi J_s$ 值仍然有可逆变化，說明成分变化仍然是可逆的，而 H_c 值在二次时效已不能完全恢复，并且磁冷和控冷的结果相同，說明这时磁冷的效果已經消失，由于加热时间过长，組織发生了变化，对矯頑力起作用的可能已經不是单畴了。 B_r 值在 750°C 加热 100 分钟后，二次时效仍能显示出磁冷和控冷的不同，这說明 750°C 形成的組織保持了磁冷时分解产物对外磁场的取向关系。

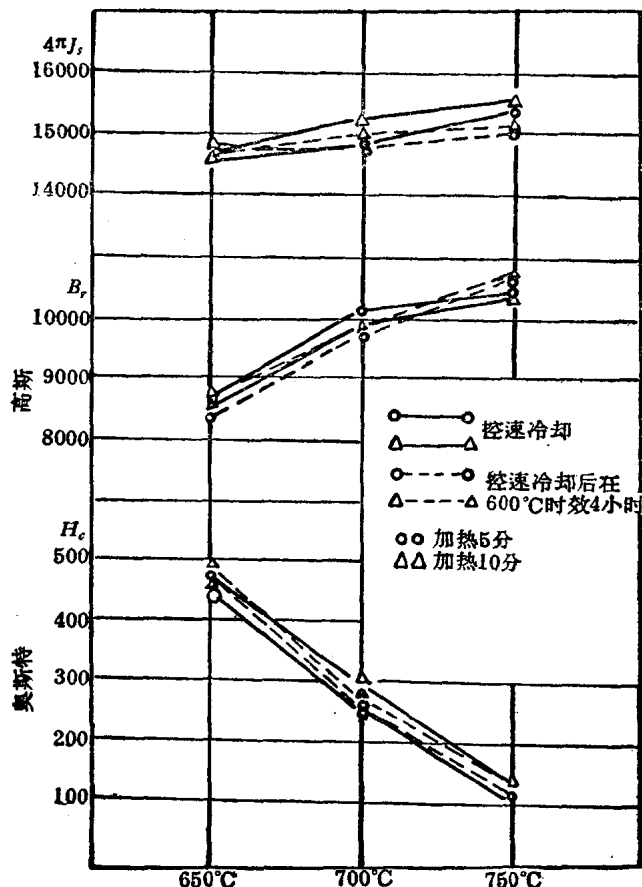


图 8 鋁鎳鈷 5 合金在控冷和 600°C 时效后短时加热，磁性随加热温度的变化。

以上分析可以看出，鋁鎳鈷 5 合金的磁性可逆現象出現的溫度区间和時間範圍是相当大的，这与一般的时效回歸現象有所不同，而且变化也較为复杂。控制可逆現象的主导因素，也必然是引起高矯頑力的主要因素，因此，这方面的研究对了解鋁鎳鈷合金高頑力的实质和时效过程是有一定意义的。

图 4、5 中曲綫与图 1 中的曲綫变化趋势基本相同，应用上述分析可作同样說明。对图 7 所示結果可作如下解釋：700°C 初时效，Fe、Co 原子进行负扩散， $4\pi J_s$ 、 B_r 值更大上升， H_c 值下降；800°C 短时加热 1 分钟，Fe、Co 原子更强烈的进行负扩散， $4\pi J_s$ 、 B_r 值更大上升， H_c 值下降；700°C 二次时效，通过 Fe、Co 原子的正扩散，性能又得以恢复。

四、結論

1. 鋁鎳鈷 5 合金磁性可逆現象出現的主要热处理条件是控速冷却。不同的固溶溫度以及冷却时加磁场与否，对可逆現象都不起本质影响。
2. 鋁鎳鈷 5 合金在控速冷却过程中分解为成分不同的小区域。依时效溫度不同有完全相反的两个过程：低于 675°C 时效，可能发生 Fe、Co 原子的正扩散，使 $4\pi J_s$ 、 B_r 值下降，

H_c 值上升；高于 675°C 进行时效，则可能发生 Fe、Co 原子的负扩散，使 $4\pi J_s$ 、 B_r 值上升 H_c 值下降。

3. 铝镍钴 5 合金以 1°C/秒 冷速磁冷并在 600°C 时效后，750°C 短时加热，并未把控冷过程中的分解产物完全驱散，磁冷效果仍然保留，即磁织构仍然存在。

4. 铝镍钴 5 合金在控速冷却后，磁性可逆现象出现是相当普遍的。依交替处理温度不同性能变化趋势亦不相同。一般在 600°C 附近时效后，高于 650°C 短时加热，再以初时效温度进行二次时效，性能都可完全恢复，加热时间过长，则性能不能完全恢复。

参考文献

- [1] Magat Л. М. фмм. (1963), 1.60. Український фізичний журнал, VIII №2 (1963) 270.
- [2] Вагаряцкий Ю. А. ДАН СССР. 148 (1963).
- [3] R. D. Heidenreich, B. A. Nesbitt, J. Appl. phys., 23 (1952) 352. K. J. Kronenberg. Z. Metallk 45 (1954) 440. J. Appl. phys. 31 (1960) 805. J. J. Dejong, J. M. G. Smeets and H. B. Haanstra J. Appl. phys., 29 (1958).
- [4] Robert B Campbell and Carl A Julian, J. Appl. phys., 3 (1961).
- [5] E. A. Neshitt and A. J. Williams Conf. Mag and Mag. Materiels (1956) 184.
- [6] A. J. J. Koch, M. G. V. D. Settg and K. J. de Vos: conf. Mag. and Mag. Materiels (1956) 173, J. Appl. phys. 27 (1956) 1250.
- [7] 加藤：电气制钢29 (1958) 359, 日本金属学会志24 (1960) 526, 773, (1961) 479.
- [8] 加藤：日本金属学会志24 (1960) 597.
- [9] 阿部木村：日本金属学会志23 (1959) 121, 125.
- [10] A. G. Clegg and M. Mcceig: proc phys. socB70 (1957) 817.
- [11] 加藤：电气制钢32 (1961) 81.
- [12] 加藤：金属物理4 (1958) 114.
- [13] Hardy H., K. Acta, Metal, 1 (1953) 210,

含鈦高鈷鋁鎳鈷永磁合金的若干研究

曾訓一 鄭昌華 傅耀先 王紹渤●

鋁鎳鈷型合金，是優良的永磁材料，其中以鋁鎳鈷 5 最為突出。

近些年來，在鋁鎳鈷 5 成分基礎上發展起來的含鈦（~5%）高鈷（~34%）品種 [1]，頗引人注意。

和鋁鎳鈷 5 比，雖然含鈦高鈷合金的剩磁感應強度 B_r 低約 30%，但矯頑力 H_c 高出一倍，而磁能積 $(BH)_m$ 可與鋁鎳鈷 5 媲美 [1]。

這種合金，一經制得柱晶， $(BH)_m$ 高達 12×10^6 高斯·奧斯特 [2]。在發表的實際指標中，這是永磁材料迄今的最高記錄。

鋁鎳鈷合金也是著名的脆性材料。工藝上，近來的重要進展之一是這類合金的熱加工成功，無損永磁性而合金的強度和韌性得到改善。此外，可望獲得型材。含鈦高鈷的品種，正是易于熱加工的合金 [3]。

本文簡短地報導我們對這一合金所作的若干研究。

一、控速永磁處理

Koch 等 [1] 發現，對含鈦高鈷合金，要獲得優異永磁性，須用恒溫熱處理，而不能用通常的控速處理。

為了釋疑，我們研究了含鈦高鈷合金的控速永磁處理。

$6.5 \times 6.5 \times 25$ 毫米³ 的試樣自 1290°C 高溫或 890°C 低溫放入 2000 奧斯特的磁場中的小爐子內。改變爐溫以變易冷速。試樣在爐內停留 6 ~ 7 分鐘取出油冷。585°C 回火 24 小時。在電磁鐵中用衝擊法測其永磁性。試驗結果示於圖 1。圖中右下方箭頭所示範圍，橫座標已非爐溫，究其爐溫，均為 700°C。試樣給予了不同程度的嵌鑲，因而冷速有所不同。用更高的爐溫，與恒溫處理混淆，所以如此。

從圖 1 可見，隨著冷卻減緩而 B_r 值單調地降低，與控速始自高溫抑始自低溫无关。高低溫控速處理所得 $\frac{H_c}{B_r}$ 值差別也不很大，而大體上落在同一顯示微弱峰值的曲線上。高溫控速處理所得 $(BH)_m$ 值稍低些；而冷卻很慢時， $\frac{H_c}{B_r}$ 值顯著低下。

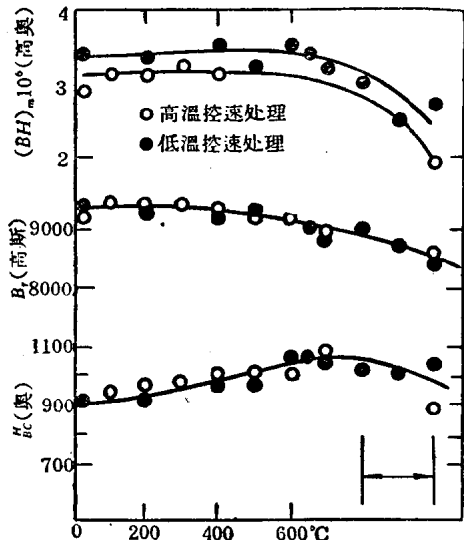


圖 1

● 先後參加過工作以及後期參加工作的分別還有康志純和劉湘林兩同志。